

# Khôlles de Mathématiques - Semaine 6

Kylian Boyet, George Ober, Hugo Vangilluwen (relecture)

19 novembre 2023

## 1 Montrer que si $f$ est impaire et bijective, alors $f^{-1}$ est aussi impaire. Donnez un/des exemples.

*Démonstration.* Soit  $f : I \rightarrow F$ , avec  $I, F$  deux parties non-vides de  $\mathbb{R}$ , une telle fonction et notons  $f^{-1}$  sa bijection réciproque. Si  $f$  est impaire sur  $I$ , alors pour tout  $x \in I$ ,  $-x \in I$ , ainsi  $I$  est centré en 0 et on a :

$$\forall x \in I, f(-x) = -f(x).$$

Ainsi, prenons  $y \in F$ , alors  $-y \in F$  par imparité et bijectivité de  $f$ . On a donc :

$$\begin{aligned} f^{-1}(-y) &= f^{-1}(-f(f^{-1}(y))) \\ &= f^{-1}(f(-f^{-1}(y))) \\ &= -f^{-1}(y). \end{aligned}$$

D'où l'imparité de  $f^{-1}$ .

Pour ce qui est de l'exemple, prenons notre fonction bijective impaire préférée, la fonction  $\sin$   $\left| \begin{smallmatrix} [-1,1] \\ [-\frac{\pi}{2}, \frac{\pi}{2}] \end{smallmatrix} \right|$  que l'on notera  $\widetilde{\sin}$ . Sa bijection réciproque est bien entendu  $\arcsin : [-1, 1] \rightarrow [-\frac{\pi}{2}, \frac{\pi}{2}]$ .

De la même manière que dans la démonstration du cas général, prenons  $y \in [-1, 1]$ , comme  $[-1, 1]$  est centré en 0,  $-y \in [-1, 1]$ , on a dès lors :

$$\begin{aligned} \arcsin(-y) &= \arcsin(-\widetilde{\sin}(\arcsin(y))) \\ &= \arcsin(\widetilde{\sin}(-\arcsin(y))) \\ &= -\arcsin(y). \end{aligned}$$

□

## 2 Limite (et preuve) lorsque $x$ tend vers $+\infty$ de $\frac{(\ln x)^\alpha}{x^\beta}$ pour $\alpha, \beta \in (\mathbb{R}_+^*)^2$ .

*Démonstration.* Premièrement, posons :

$$\forall (x, \alpha, \beta) \in [1, +\infty[ \times (\mathbb{R}_+^*)^2, \quad f_{\alpha, \beta}(x) = \frac{(\ln x)^\alpha}{x^\beta}.$$

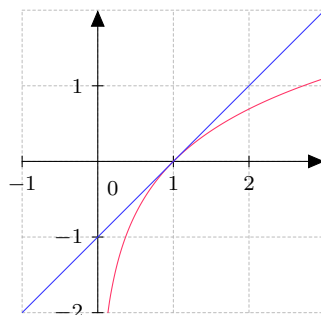
Deuxièmement, montrons que :

$$\frac{\ln(x)}{x^2} \xrightarrow[n \rightarrow +\infty]{} 0.$$

Soit  $x \in [1, +\infty[ = \mathcal{A}$ . Nous savons que la fonction  $\ln$  est concave sur  $\mathbb{R}_+^*$ , donc en particulier sur  $\mathcal{A}$ . Ainsi,  $\ln$  est en dessous de toutes ses tangentes, d'où :

$$\forall x \in \mathcal{A}, \quad 0 \leq \ln(x) \leq x - 1.$$

Illustration de l'inégalité :



**Figure 1.**  $\ln$  en rouge et la première bissectrice en bleu.

On peut alors diviser par  $x^2$  (car  $x \neq 0$ ) :

$$\forall x \in \mathcal{A}, \quad 0 \leq \underbrace{\frac{\ln(x)}{x^2}}_{f_{1,2}(x)} \leq \underbrace{\frac{1}{x}}_{x \rightarrow +\infty \rightarrow 0} - \underbrace{\frac{1}{x^2}}_{x \rightarrow +\infty \rightarrow 0}.$$

Donc par théorème d'encadrement  $f_{1,2}(x) \xrightarrow{x \rightarrow +\infty} 0$ .

Dernièrement, le cas général. Soit  $x \in \mathcal{A}$  et soient  $(\alpha, \beta) \in (\mathbb{R}_+^*)^2$ . On fait une preuve directe.

$$\begin{aligned} \frac{(\ln(x))^\alpha}{x^\beta} &= \left( \frac{\ln(x)}{x^{\frac{\beta}{\alpha}}} \right)^\alpha \\ &= \underbrace{\left( \frac{2\alpha}{\beta} \right)^\alpha}_{c^{te} \text{ (définie!)}} \cdot \underbrace{\left[ \frac{\ln \left( x^{\frac{\beta}{2\alpha}} \right)}{\underbrace{\left( x^{\frac{\beta}{2\alpha}} \right)^2}_{\xrightarrow{x \rightarrow +\infty} 0}} \right]^\alpha}_{\substack{\text{d'après le dernier point} \\ \xrightarrow{x \rightarrow +\infty} 0}} \\ &\quad \underbrace{\xrightarrow{x \rightarrow +\infty} 0}_{\substack{\text{par composition des limites} \\ \text{par produit}}} \end{aligned}$$

□

### 3 Limite en 0 de $\frac{1-\cos(x)}{x^2}$ et limite en $+\infty$ suivant $n$ de $\frac{(q^n)^\alpha}{(n!)^\beta}$ pour $q \in \mathbb{R}$ et $(\alpha, \beta) \in (\mathbb{R}_+^*)^2$ .

*Démonstration.*

Montrons que  $\frac{1-\cos(x)}{x^2} \xrightarrow{x \rightarrow 0} \frac{1}{2}$ .

On fait toujours une preuve directe.

$$\begin{aligned}
\lim_{x \rightarrow 0} \frac{1 - \cos(x)}{x^2} &= \lim_{x \rightarrow 0} \frac{1 - \cos\left(\frac{2x}{2}\right)}{x^2} \\
&= \lim_{x \rightarrow 0} \frac{1 - \left(1 - 2 \sin^2\left(\frac{x}{2}\right)\right)}{x^2} \\
&= \lim_{x \rightarrow 0} \frac{2 \sin^2\left(\frac{x}{2}\right)}{4 \left(\frac{x}{2}\right)^2} \\
&= \lim_{x \rightarrow 0} \underbrace{\frac{1}{2}}_{\substack{\text{c'est} \\ \text{par produit}}} \cdot \underbrace{\left[ \frac{\sin\left(\frac{x}{2}\right)}{\left(\frac{x}{2}\right)} \right]^2}_{\substack{\xrightarrow{x \rightarrow 0} 1 \\ \text{limite usuelle} \\ \xrightarrow{x \rightarrow 0} 1 \\ \text{par composition}}} \\
&= \frac{1}{2}
\end{aligned}$$

Trouvons la limite, sous réserve d'existence, de  $\frac{(q^n)^\alpha}{(n!)^\beta}$  pour  $q \in \mathbb{R}$  et  $(\alpha, \beta) \in (\mathbb{R}_+^*)^2$  suivant  $n$  en  $+\infty$ .

Remarquons que si  $q \leq 0$ , il est **nécessaire** d'avoir  $\alpha \in \mathbb{Z}^*$  sinon l'expression n'a tout simplement **aucun sens**. De fait, on supposera  $q > 0$  tout le long, les cas  $q < 0$  se font naturellement (convergence pour  $q \in \mathbb{R}_-$ ).

Soit donc  $0 < q < 1$ , ce cas est immédiat,  $((q^n)^\alpha)_{n \in \mathbb{N}} = ((q^\alpha)^n)_{n \in \mathbb{N}}$ , donc il s'agit de la suite géométrique de raison  $q^\alpha \in ]0, 1[$  et de premier terme  $q^{\min_I(n)\alpha}$  ( $\min_I(n)$ , avec  $I$  une partie non vide de  $\mathbb{N}$ , car la suite ne démarre pas forcément à 0), donc elle converge vers 0.

Si  $q \geq 1$ , on montre le cas trivial  $\alpha = \beta = 1$  :

$$\forall n \in \llbracket [q] + 1, +\infty \llbracket, \quad 0 \leq \frac{q^n}{n!} = \underbrace{\frac{q}{1} \times \frac{q}{2} \times \cdots \times \frac{q}{[q]}}_{= \lambda \text{ (une constante)}} \times \underbrace{\frac{q}{[q] + 1}}_{\leq 1} \times \cdots \times \underbrace{\frac{q}{n-1}}_{\leq 1} \times \frac{q}{n} \leq \underbrace{\frac{\lambda q}{n}}_{\xrightarrow{n \rightarrow +\infty} 0}$$

Par théorème d'existence de limite par encadrement,  $\left(\frac{q^n}{n!}\right)_{n \in \mathbb{N}}$  converge et sa limite est 0.

Soient  $(\alpha, \beta) \in \mathbb{R}_+^*$ , montrons le cas général pour  $q \geq 1$ .

$$\forall n \in \mathbb{N}, \quad \frac{(q^n)^\alpha}{(n!)^\beta} = \left( \frac{\left(q^{\frac{\alpha}{\beta}}\right)^n}{n!} \right)^\beta = \underbrace{\left( \underbrace{\frac{\left(q^{\frac{\alpha}{\beta}}\right)^n}{n!}}_{\substack{\xrightarrow{n \rightarrow +\infty} 0 \\ \text{c'est le cas trivial}}} \right)^\beta}_{\substack{\xrightarrow{n \rightarrow +\infty} 0 \\ \text{par composition des limites } (\beta > 0)}}$$

□

## 4 Présentation exhaustive de la fonction arcsin.

*Démonstration.* Premièrement, ladite fonction est la bijection réciproque de la fonction  $\widetilde{\sin}$  (voir 1.). D'où :

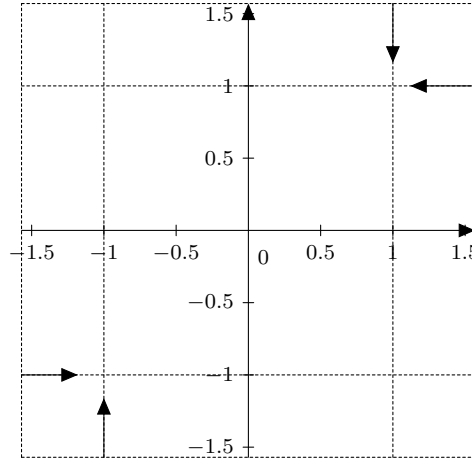
$$\arcsin = \begin{cases} [-1, 1] & \rightarrow [-\frac{\pi}{2}, \frac{\pi}{2}] \\ x & \mapsto (\widetilde{\sin})^{-1}(x) \end{cases}$$

Ainsi, pour  $x \in [-1, 1]$ ,  $\arcsin(x)$  est l'unique solution de l'équation d'inconnue  $\theta \in [-\frac{\pi}{2}, \frac{\pi}{2}]$ ,  $\sin(\theta) = x$ .

Il découle alors naturellement des propriétés héréditairement acquises de  $\widetilde{\sin}$  :

1. arcsin est impaire.
2. arcsin est strictement croissante sur  $[-1, 1]$ .
3.  $\arcsin \in \mathcal{C}^0([-1, 1], [-\frac{\pi}{2}, \frac{\pi}{2}])$ .
4.  $\arcsin \in \mathcal{D}^1(]-1, 1[, ]-\frac{\pi}{2}, \frac{\pi}{2}[)$ .
5.  $\arcsin'(x) = \frac{1}{\sqrt{1-x^2}}$  pour tout  $x \in ]-1, 1[$ .
6. arcsin admet deux demi-tangentes verticales en  $-1$  et  $1$ .

Graphes de arcsin :



**Figure 2.** arcsin en bleu,  $\widetilde{\sin}$  en vert et la première bissectrice en rouge.

On a aussi, grâce au taux d'accroissement en 0 d'arcsin :

$$\lim_{x \rightarrow 0} \frac{\arcsin(x)}{x} = 1.$$

Puis finalement (visible sur le graphe) :

$$\forall x \in [0, 1], \quad \arcsin(x) \geq x.$$

□

## 5 Présentation exhaustive de la fonction arccos.

*Démonstration.* Premièrement, ladite fonction est la bijection réciproque de la fonction  $\cos|_{[0, \pi]}^{[-1, 1]} := \widetilde{\cos}$ . D'où :

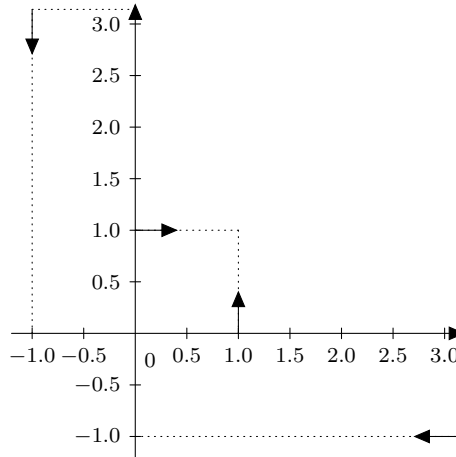
$$\arccos = \begin{cases} [-1, 1] & \rightarrow [0, \pi] \\ x & \mapsto (\widetilde{\cos})^{-1}(x) \end{cases}$$

Ainsi, pour  $x \in [-1, 1]$ ,  $\arccos(x)$  est l'unique solution de l'équation d'inconnue  $\theta \in [0, \pi]$ ,  $\cos(\theta) = x$ .

Il découle alors naturellement des propriétés héréditairement acquises de  $\widetilde{\cos}$  :

1.  $\arccos$  est strictement décroissante sur  $[-1, 1]$ .
2.  $\arccos \in \mathcal{C}^0([-1, 1], [0, \pi])$ .
3.  $\arccos \in \mathcal{D}^1(]-1, 1[, ]0, \pi[)$ .
4.  $\arccos'(x) = -\frac{1}{\sqrt{1-x^2}}$  pour tout  $x \in ]-1, 1[$ .
5.  $\arccos$  admet deux demi-tangentes verticales en  $-1$  et  $1$ .

Graphique de  $\arccos$  :



**Figure 3.**  $\arccos$  en vert,  $\widetilde{\cos}$  en violet, la première bissectrice en rouge et  $y = \frac{\pi}{2} - x$  en rose.

□

## 6 Présentation exhaustive de la fonction arctan.

*Démonstration.*

Premièrement, ladite fonction est la bijection réciproque de la fonction  $\tan|_{]-\frac{\pi}{2}, \frac{\pi}{2}[} := \widetilde{\tan}$ .  
D'où :

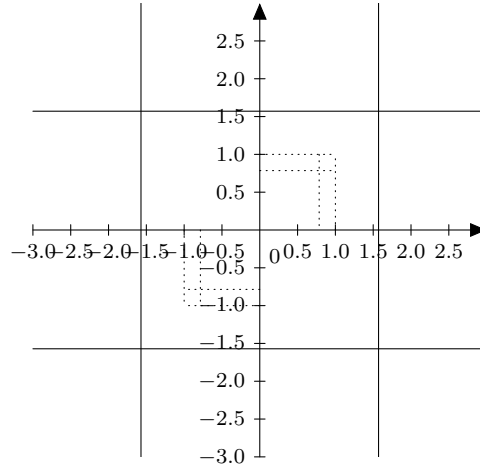
$$\arctan = \begin{cases} \mathbb{R} & \rightarrow & ]-\frac{\pi}{2}, \frac{\pi}{2}[ \\ x & \mapsto & (\widetilde{\tan})^{-1}(x) \end{cases}$$

Ainsi, pour  $x \in \mathbb{R}$ ,  $\arctan(x)$  est l'unique solution de l'équation d'inconnue  $\theta \in ]-\frac{\pi}{2}, \frac{\pi}{2}[$ ,  $\tan(\theta) = x$ .

Il découle alors naturellement des propriétés héréditairement acquises de  $\widetilde{\tan}$  :

1.  $\arctan$  est impaire.
2.  $\arctan \in \mathcal{C}^0(\mathbb{R}, ]-\frac{\pi}{2}, \frac{\pi}{2}[)$ .
3.  $\arctan \in \mathcal{D}^1(\mathbb{R}, ]-\frac{\pi}{2}, \frac{\pi}{2}[)$ .
4.  $\arctan'(x) = \frac{1}{1+x^2}$  pour tout  $x \in \mathbb{R}$ .

Graphe de arctan :



**Figure 4.** arctan en vert,  $\widetilde{\tan}$  en bleu, la première bissectrice en rouge, et les fonctions  $y = \pm \frac{\pi}{2}$  et  $x = \pm \frac{\pi}{2}$  en noir.

On a aussi (visible sur le graphe) :

$$\forall x \in \mathbb{R}_+, \quad \arctan(x) \leq x.$$

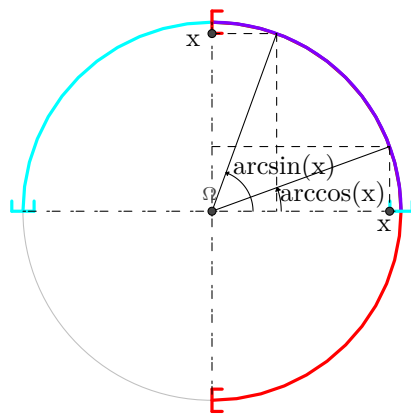
Et enfin :

$$\forall x \in \mathbb{R}^*, \quad \arctan(x) + \arctan\left(\frac{1}{x}\right) = \begin{cases} \frac{\pi}{2} & \text{si } x > 0 \\ -\frac{\pi}{2} & \text{si } x < 0. \end{cases}$$

□

## 7 2 preuves de $\arcsin(x) + \arccos(x) = \frac{\pi}{2}$ sur $[-1, 1]$ , dont une basée sur une interprétation géométrique du cercle trigonométrique.

*Démonstration.* L'interprétation géométrique sur  $[0, 1]$ , celle sur  $[-1, 0]$  est laissée au lecteur car il s'agit du même principe modulo des détails :



**Figure 5.**

Preuve formelle :

Soit  $x \in [-1, 1]$ . Posons  $\varphi = \arcsin(x) \in \left[-\frac{\pi}{2}, \frac{\pi}{2}\right]$ . Ainsi :

$$\arcsin(x) + \arccos(x) = \varphi + \arccos(\sin(\varphi)) = \varphi + \arccos\left(\cos\left(\frac{\pi}{2} - \varphi\right)\right),$$

or  $\varphi \in [-\frac{\pi}{2}, \frac{\pi}{2}]$  donc  $\frac{\pi}{2} - \varphi \in [0, \pi]$  d'où  $\arccos(\cos(\frac{\pi}{2} - \varphi)) = \frac{\pi}{2} - \varphi$  si bien que :

$$\arcsin(x) + \arccos(x) = \varphi + \frac{\pi}{2} - \varphi = \frac{\pi}{2}.$$

□

## 8 Présentation analytique rapide des fonctions cosh et sinh.

*Démonstration.*

- Domaine de définition et symétries.

sinh et cosh sont définies sur  $\mathbb{R}$ .

De plus,

(i)  $\forall x \in \mathbb{R}, -x \in \mathbb{R}$ ,

$$(ii) \forall x \in \mathbb{R}, \begin{cases} \sinh(-x) &= \frac{e^{-x} - e^x}{2} = -\frac{e^x - e^{-x}}{2} = -\sinh(x) \\ \text{et} \\ \cosh(-x) &= \frac{e^{-x} + e^{-(x)}}{2} = \frac{e^x + e^{-x}}{2} = \cosh(x). \end{cases}$$

Donc sinh et cosh sont respectivement impaire et paire.

Nous les étudierons sur  $\mathbb{R}_+$  et pour les obtenir les graphes ( $\mathcal{C}_{\sinh}$  et  $\mathcal{C}_{\cosh}$ ) de ces fonctions sur  $\mathbb{R}$  à partir de ceux ( $\mathcal{C}_{\sinh}^+$  et  $\mathcal{C}_{\cosh}^+$ ) obtenus sur  $\mathbb{R}_+$ , nous le compléterons en traçant les images de ces graphes par la symétrie centrale  $s$  de centre  $O$  et par la réflexion  $r$  d'axe  $(O, \vec{j})$  :

$$\mathcal{C}_{\sinh} = \mathcal{C}_{\sinh}^+ \cup s(\mathcal{C}_{\sinh}^+) \quad \text{et} \quad \mathcal{C}_{\cosh} = \mathcal{C}_{\cosh}^+ \cup r(\mathcal{C}_{\cosh}^+)$$

- Variations : triviales.
- Branches infinies en  $+\infty$  et position relative de  $\mathcal{C}_{\sinh}$  et  $\mathcal{C}_{\cosh}$ .

$$\frac{\cosh(x)}{x} = \underbrace{\frac{e^x}{x}}_{\xrightarrow{x \rightarrow +\infty} +\infty} + \underbrace{\frac{e^{-x}}{x}}_{\xrightarrow{x \rightarrow +\infty} 0} \xrightarrow{x \rightarrow +\infty} +\infty$$

Donc le graphe de cosh admet une branche parabolique de direction asymptotique  $(O, \vec{j})$ .

On a :

$$\forall x \in \mathbb{R}, \quad \cosh(x) - \sinh(x) = e^{-x} \xrightarrow{x \rightarrow +\infty} 0^+$$

Donc les graphes des deux fonctions se rapprochent l'un de l'autre arbitrairement près lorsque  $x \rightarrow +\infty$ , et le graphe de cosh est au-dessus de celui de sinh.

- Tangente au graphe de sinh à l'origine et position relative.

Il s'agira d'étudier  $g : x \in \mathbb{R}_+ \mapsto \sinh(x) - x$ , de remarquer sa dérivabilité d'en étudier les variations puis de conclure, en précisant que cette étude révèle l'inflexion du graphe de sinh en 0.

□